BCPST1 – G. Furelaud 1/11

SV-B-1 poly 01

La respiration

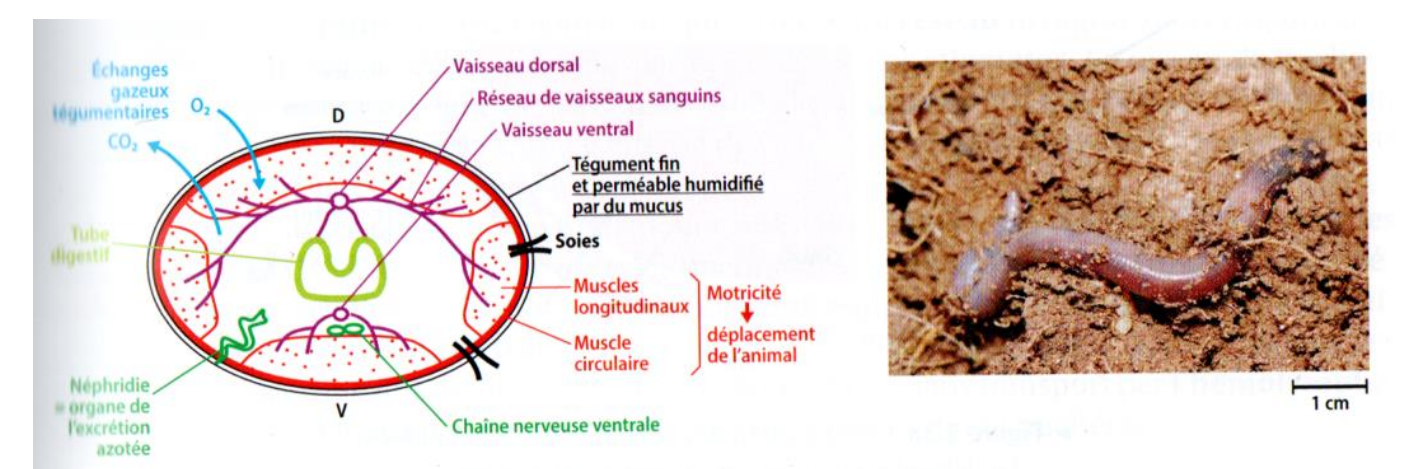
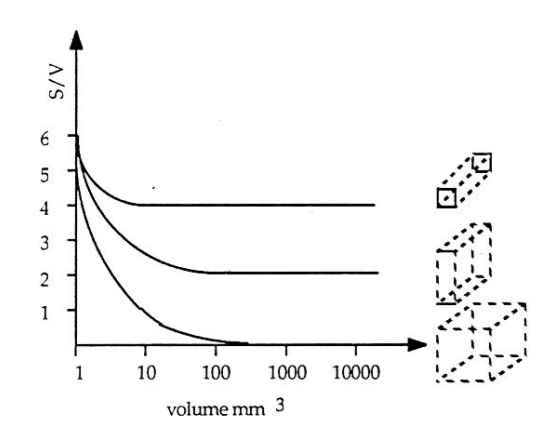


Fig. 1. Respiration tégumentaire du Lombric. ** [2]
Les Lombrics (sous-ordre Lumbricina) sont des vers Annélides (Bilatériens – Protostomiens – Lophotrochozoaires).

Fig. 2. Evolution du rapport surface/volume, en fonction du

→ allongement selon 1 dimension
 → aplatissement selon 2 dimensions
 → agrandissement dans les 3 dimensions

volume total et pour différentes formes simples. *



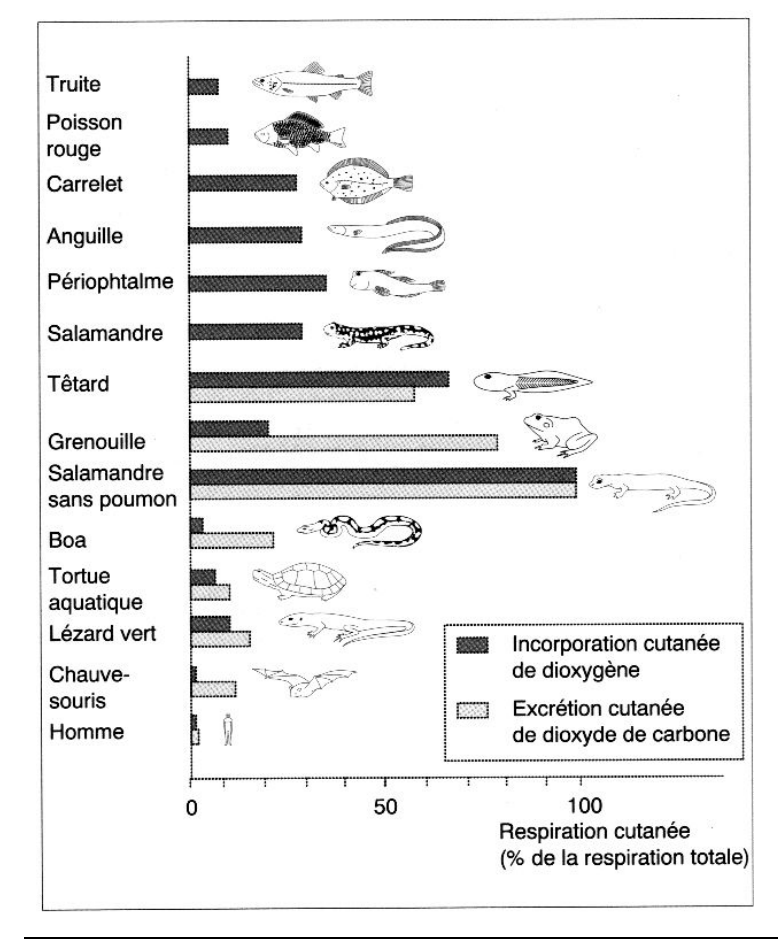


Fig. 3. Part de la respiration tégumentaire dans les échanges gazeux, pour quelques espèces de Vertébrés.

[4]

La part restante des échanges gazeux est réalisée grâce à un échangeur spécialisé (branchies ou poumons).

BCPST1 - G. Furelaud 2/11

Fig. 4. « Concentration » des gaz.

Dans l'air : notion de pression partielle

La concentration d'une substance se mesure en moles/L.

Dans le cas des gaz, le volume d'un même nombre de molécules peut-être modifié en agissant sur sa pression. Ceci fait que pour un gaz on mesure la concentration par sa pression dans un volume donné à une température donnée, soit :

$$P.V = n.R.T$$

R : constante des gaz parfaits

n : moles de gaz

P : pression (souvent mesurée en mmHg)

V : volume

T: température absolue

L'air est un mélange de gaz.

Dans les conditions standard (0°C, 760 mmHg), l'air atmosphérique contient :

- 20,95 % de dioxygène
- 0.03 % de dixoyde de carbone
- 78.09 % de diazote
- 0,93 % d'argon + autres gaz rares

On peut donc déterminer la part du O2 dans la pression atmosphérique, ce qui correspond à la pression partielle du dioxygène :

$$pO2 = 101,5 \times 0,2095 = 21,3 \text{ kPa} (159,2 \text{ mmHg})$$

Ceci est valable pour de l'air sec. Si l'air contient de la vapeur d'eau et que sa pression totale est toujours 760 mmHg, il y a alors diminution de la pO2.

pO2 est donc fonction de deux variables :

- La **pression** totale (qui baisse avec l'altitude)
- Le pourcentage ou concentration relative dans le mélange

Dans l'eau: importance de la solubilité

Dans l'eau, il s'établit un équilibre entre l'air et l'eau. La concentration du gaz dans l'eau dépend donc :

- De la pression de gaz dans la phase gazeuse
- De la solubilité (α) du gaz dans la phase aqueuse.

La solubilité a dépend de la nature du gaz, de la température et de la présence d'autres substances dissoutes (ex : sels). Elle s'exprime en mL de gaz dissous par litre d'eau pour une pression partielle de 760 mmHg.

La concentration C du gaz dans l'eau est égale à :

$$C = \frac{\propto P}{760}$$
 (avec P en mmHg)

 $C = \frac{\propto P}{760} \quad (avec\ P\ en\ mmHg)$ Un litre d'eau à 5°C (solubilité du O2 de 42,9 mL/L) contient donc : 42,9 x 159,2/760 = 8,99 mL de O2

Le CO2 est bien plus soluble dans l'eau que le O2 : α CO2 >> α O2

La solubilité du O2 dans l'eau :

- Diminue lorsque la température augmente $\alpha O2 = 49 \text{ à } 0^{\circ} \text{C} ; 31 \text{ à } 20 \text{ °C} ; 23 \text{ à } 40^{\circ} \text{C}$
- Diminue avec la salinité
 - à 0° C $\alpha = 49$ pour 0g/L ; 40 pour 29 g/L ; 38 pour 36 g/L





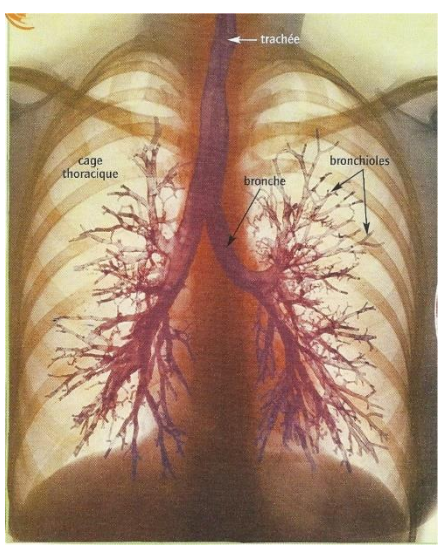


Fig. 5. Rappel: aspect général d'organes respiratoires. Branchies de Moule (Mollusque bivalve) ; branchies de Téléostéen ; poumons humains. Voir TP.

BCPST1 - G. Furelaud 3/11

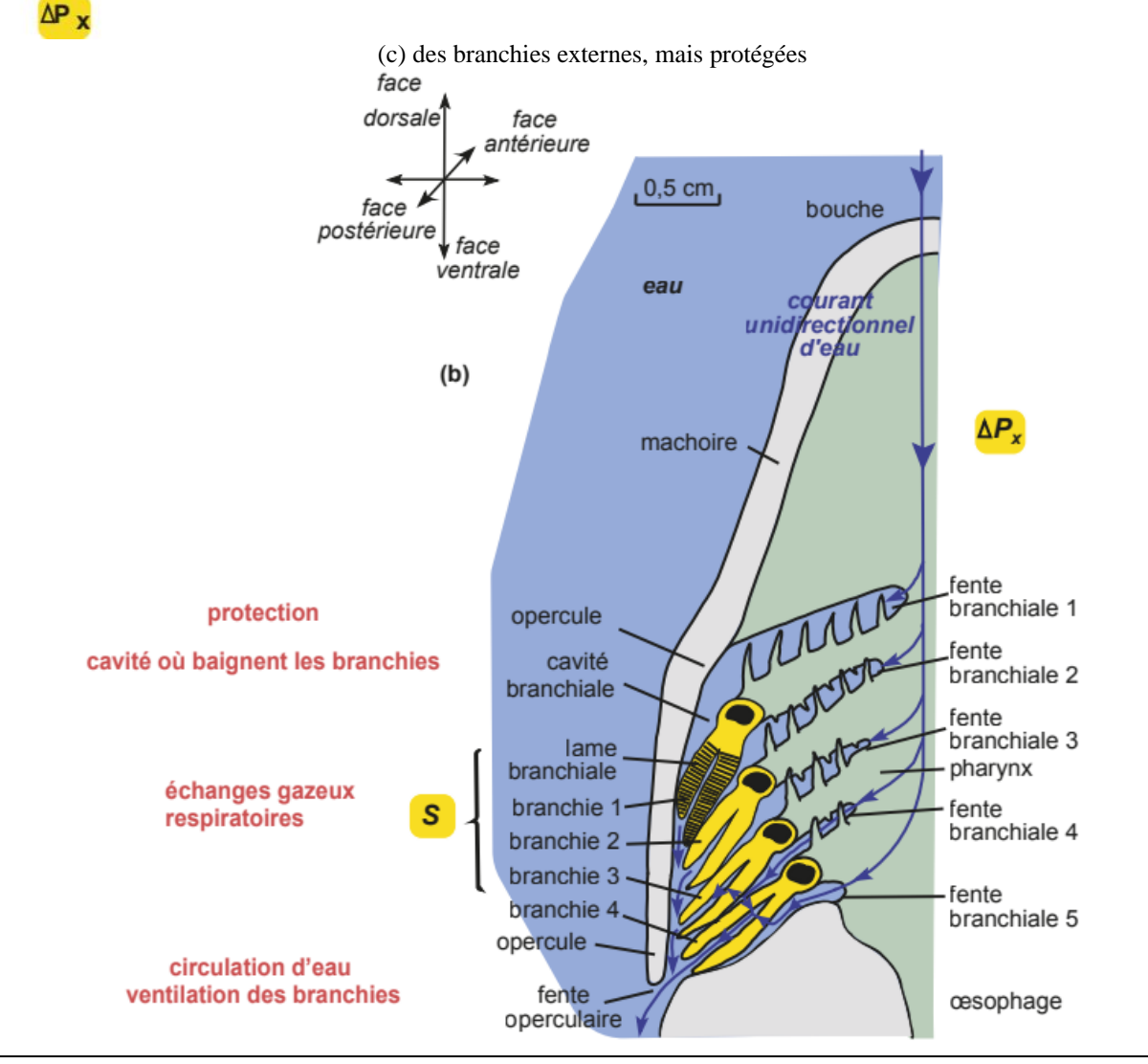
Fig. 6. Les branchies des poissons Téléostéens.

(a) portion d'une branchie. (b) coupe détaillée d'une lamelle. contre-(a) (b) courant O,d CO2 épithélium branchial arc branchial S replis de la eau eau membrane plasmique ΔP endothélium courant vaisseau unidirectionnel d'eaul marginal O₂d basale cellule lamelles en pilier CO₂ branchiales lacune sanguine S sens du sang lames branchiales vers le bord externe bord externe de la lame sens de la lame 2 μm de l'eau artère artère branchiale branchiale

2 mm

efférente

afférente



BCPST1 – G. Furelaud 4/11

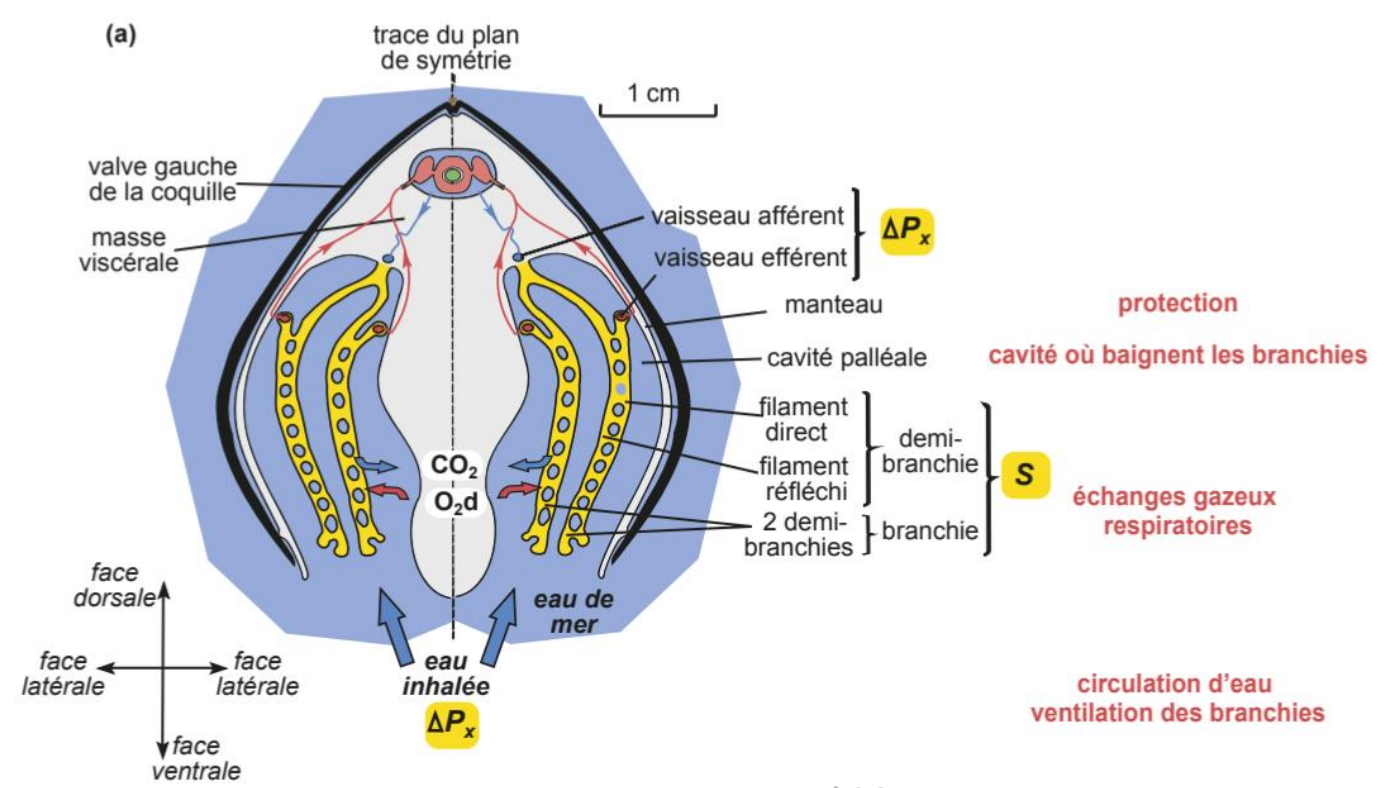


Fig. 7. Les branchies de la Moule. *** [2]

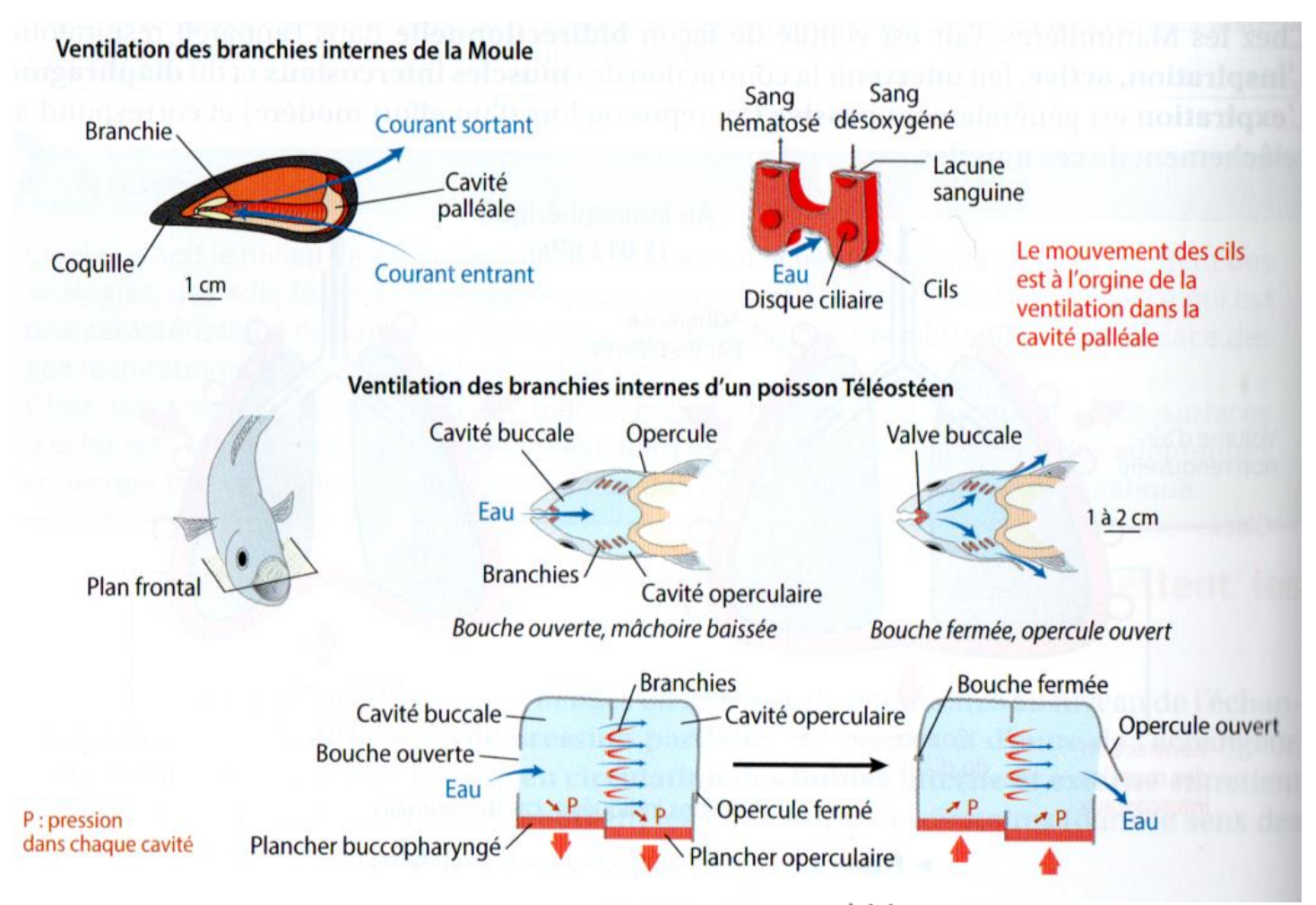
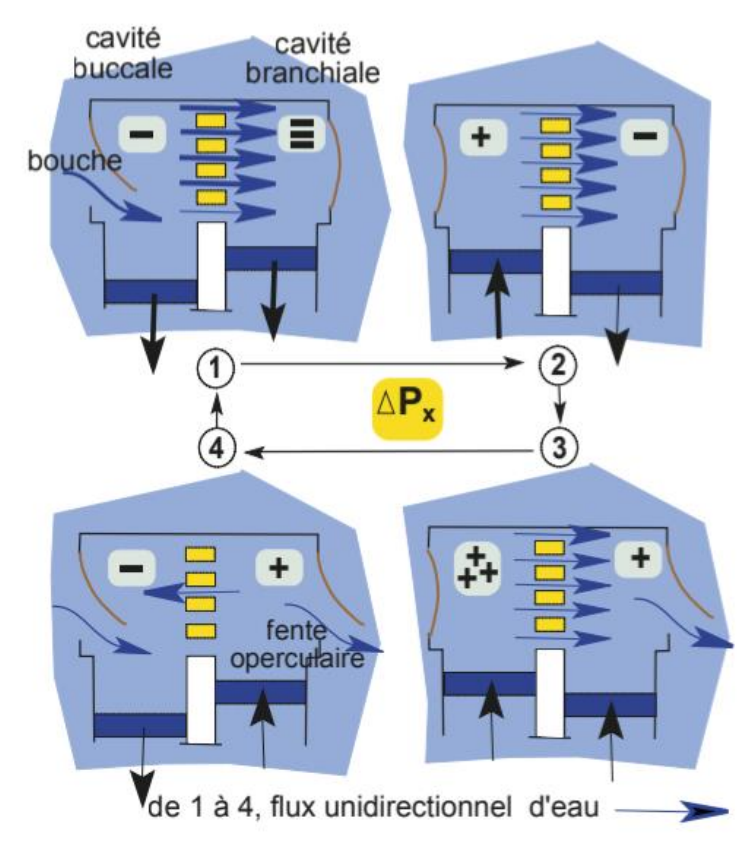
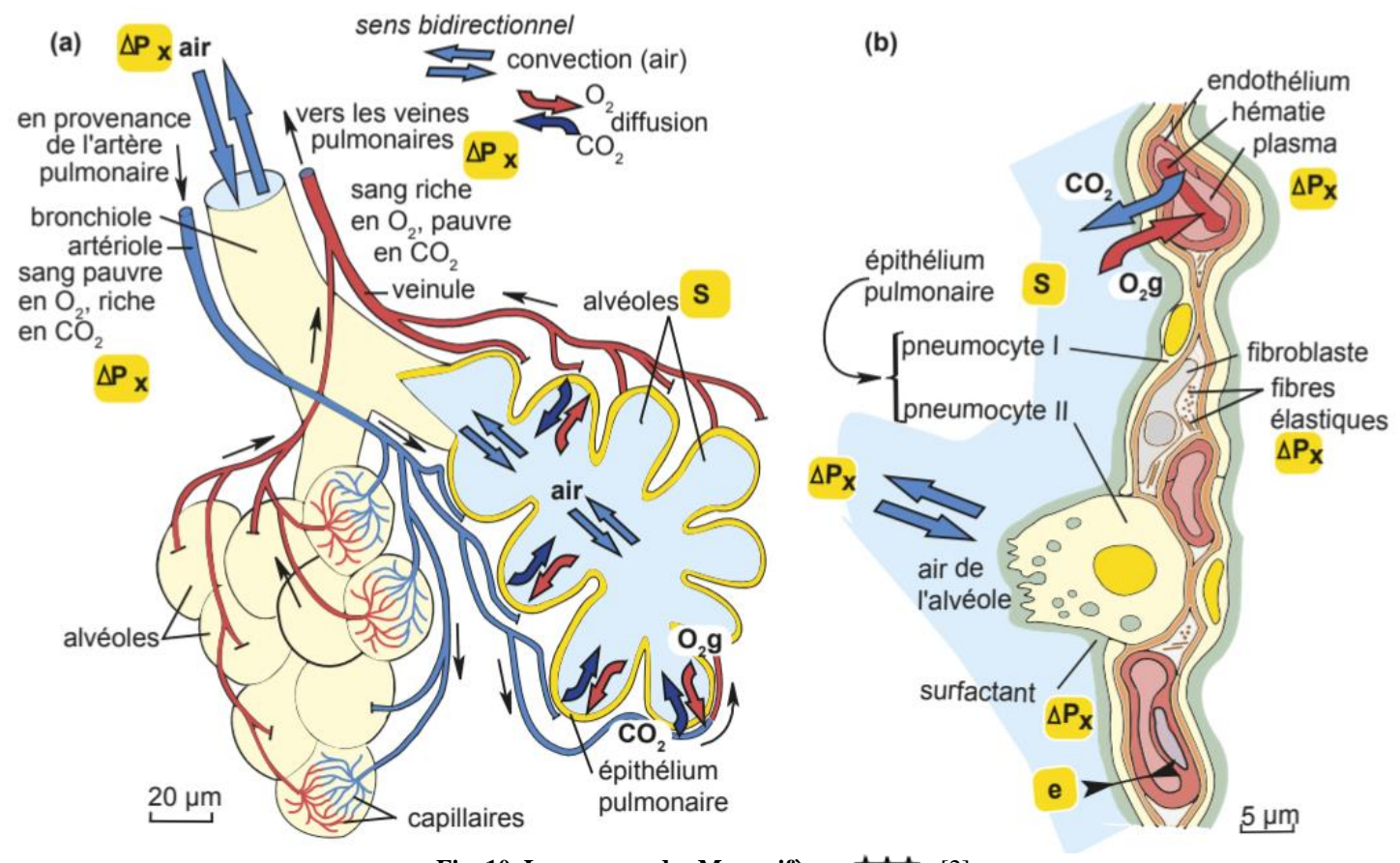


Fig. 8. La ventilation au niveau des branchies.

BCPST1 – G. Furelaud 5/11





BCPST1 – G. Furelaud 6/11

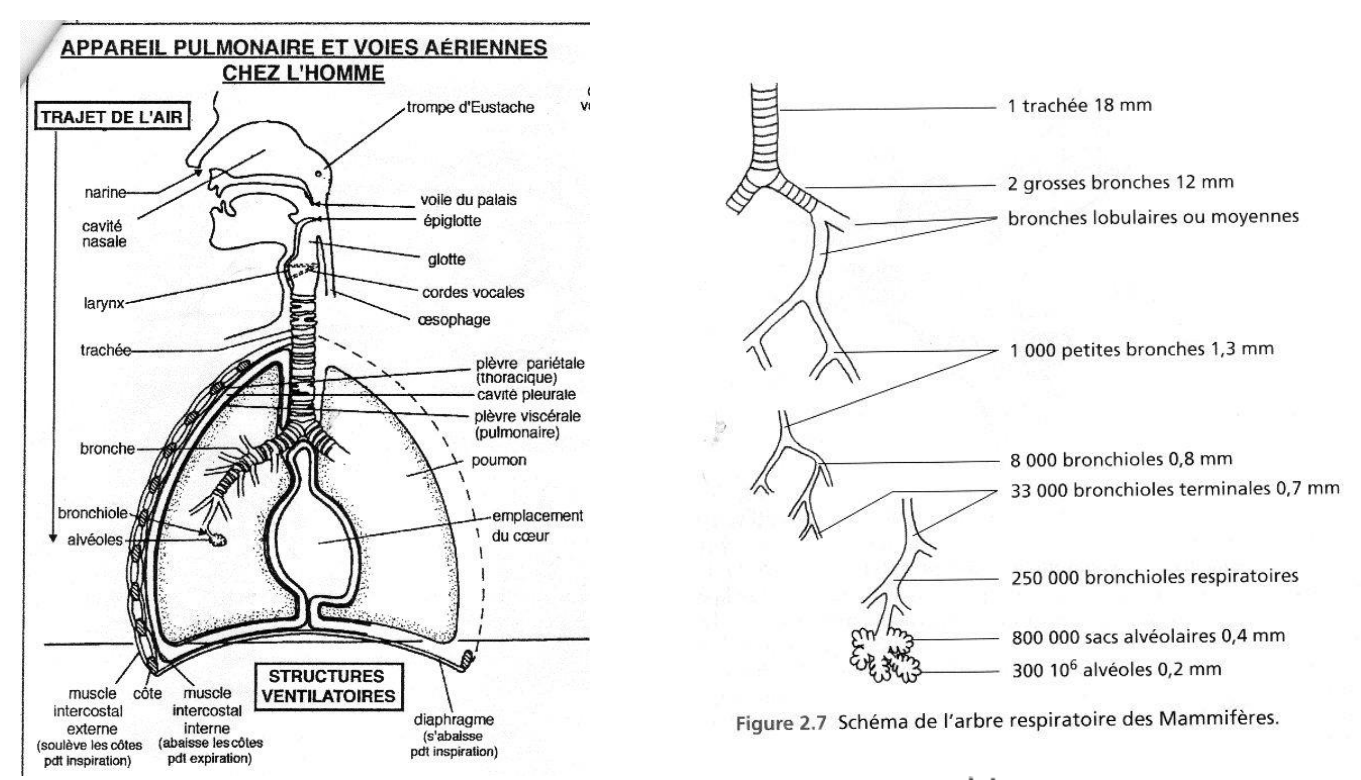
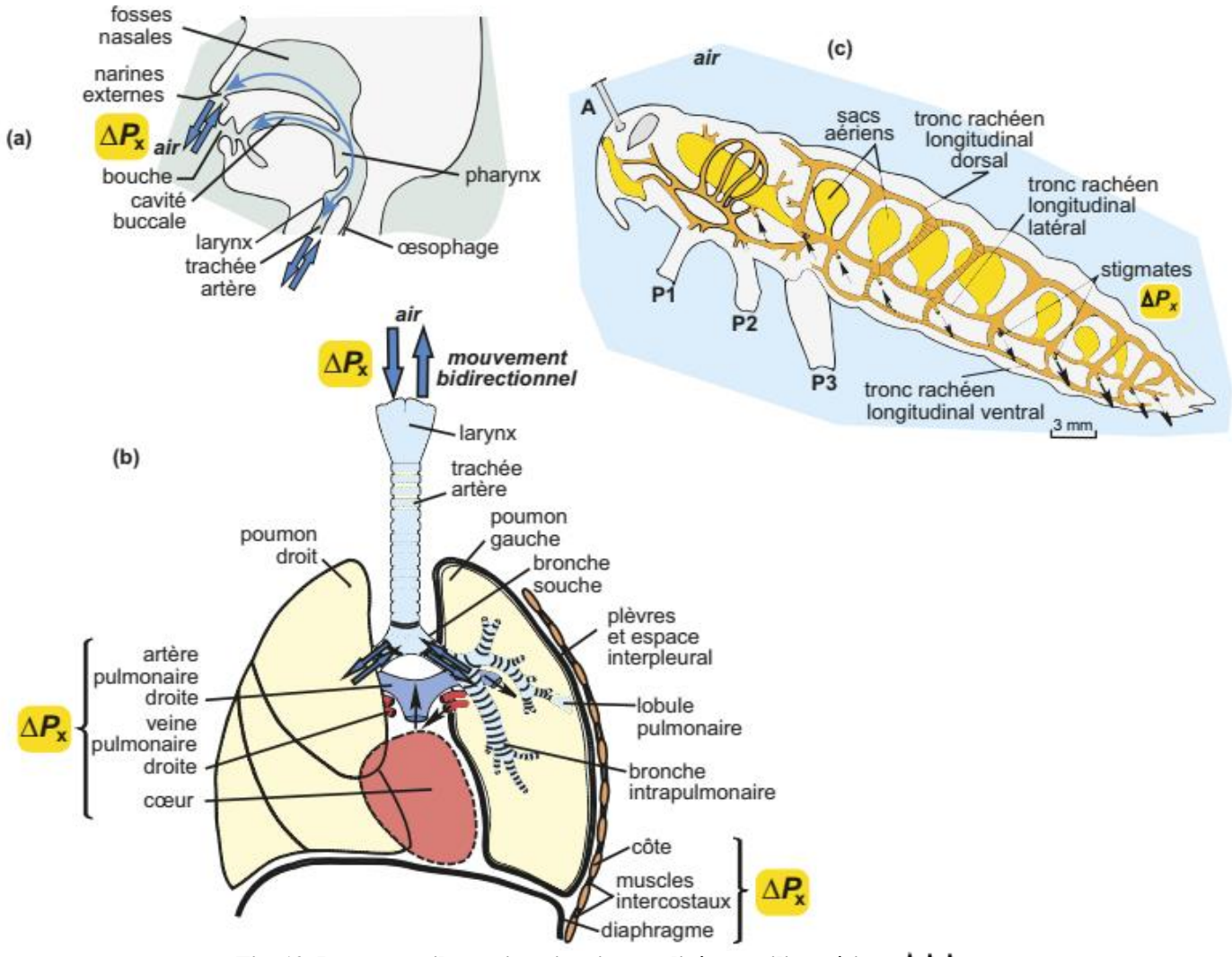


Fig. 11. Voies aériennes du poumon des Mammifères.



BCPST1 – G. Furelaud 7/11

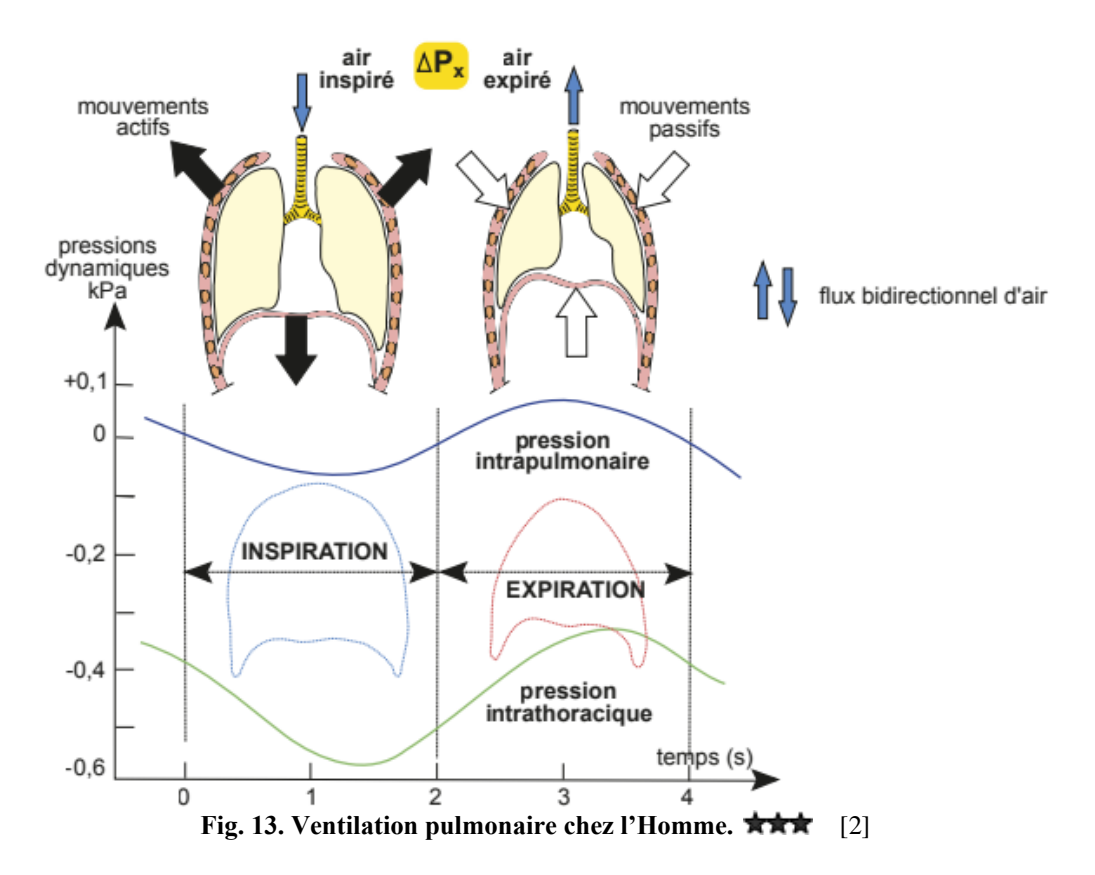


Figure 23. Rôle de la pression intrapleurale dans l'inspiration. La contraction du diaphragme et des muscles intercostaux externes augmente le volume de la cage thoracique (A). La paroi du thorax et la plèvre pariétale s'écartent alors de la plèvre pulmonaire (B) et (C). La pression intrapleurale s'abaisse, facilitant la dilatation des poumons et donc des alvéoles.

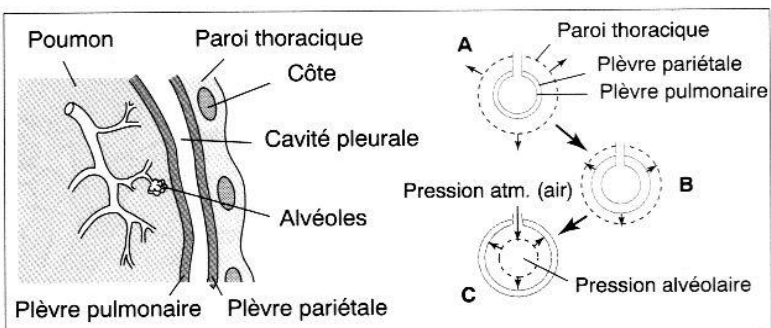
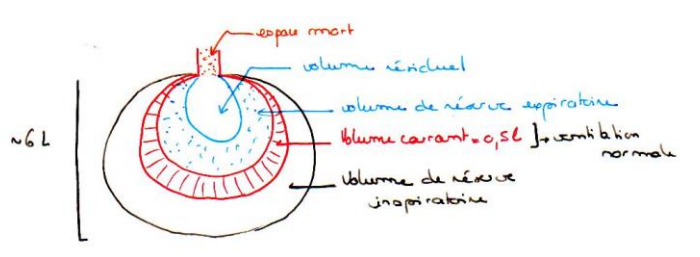


Fig. 14. Les plèvres permettent la solidarité entre mouvements des côtes et mouvements des poumons. ** [4]

Fig. 15. Quelques données chiffrées sur la ventilation humaine. **

On peut mesurer le volume respiratoire pulmonaire par un appareil appelé spiromètre.

La capacité pulmonaire **maximale** est, en moyenne, de 5,7 L chez l'homme et 4,2 L chez la femme. Mais le poumon est rarement rempli à son maximum ni vidé!



Normalement, le **volume pulmonaire** oscille au repos entre **2,2**

L et 2,7 L: il y a 500 mL d'air entrant et sortant des poumons à chaque cycle respiratoire : volume courant.

Le volume d'air qui peut être inspiré de façon forcée varie de 2 à 3 litres. : volume de réserve inspiratoire

Le volume d'air qui peut être expiré de façon **forcée** (en contractant les muscles abdominaux) est environ de 1 litre : volume de réserve expiratoire

Mais même après l'expiration la plus vigoureuse, il reste toujours 1,2 litres dans les poumons : volume **résiduel** Ce volume résiduel contribue à maintenir les alvéoles ouvertes et à prévenir l'affaissement des poumons.

Une partie de l'air inspiré remplit les conduits et ne participe jamais aux échanges gazeux dans les alvéoles. Le volume de ces conduits correspond à l'espace mort. Il correspond à un volume de 150 ml.

Lors de l'inspiration, l'air entrant froid et sec repousse ces 150 ml d'air de l'espace mort vers les poumons ce qui fait d'abord entrer dans les alvéoles 150 ml d'un air chaud et saturé de vapeur d'eau au contact de la paroi des bronches. Donc sur les 500 ml d'air frais inspiré, 350 ml vont dans les alvéoles mélangés à l'air de l'espace mort des voies respiratoires et 150 ml reste dans les voies respiratoires et remplace l'air repoussé dans les alvéoles.

Cela a un avantage : cela évite qu'un air trop sec déshydrate l'épithélium pulmonaire.

BCPST1 – G. Furelaud 8/11

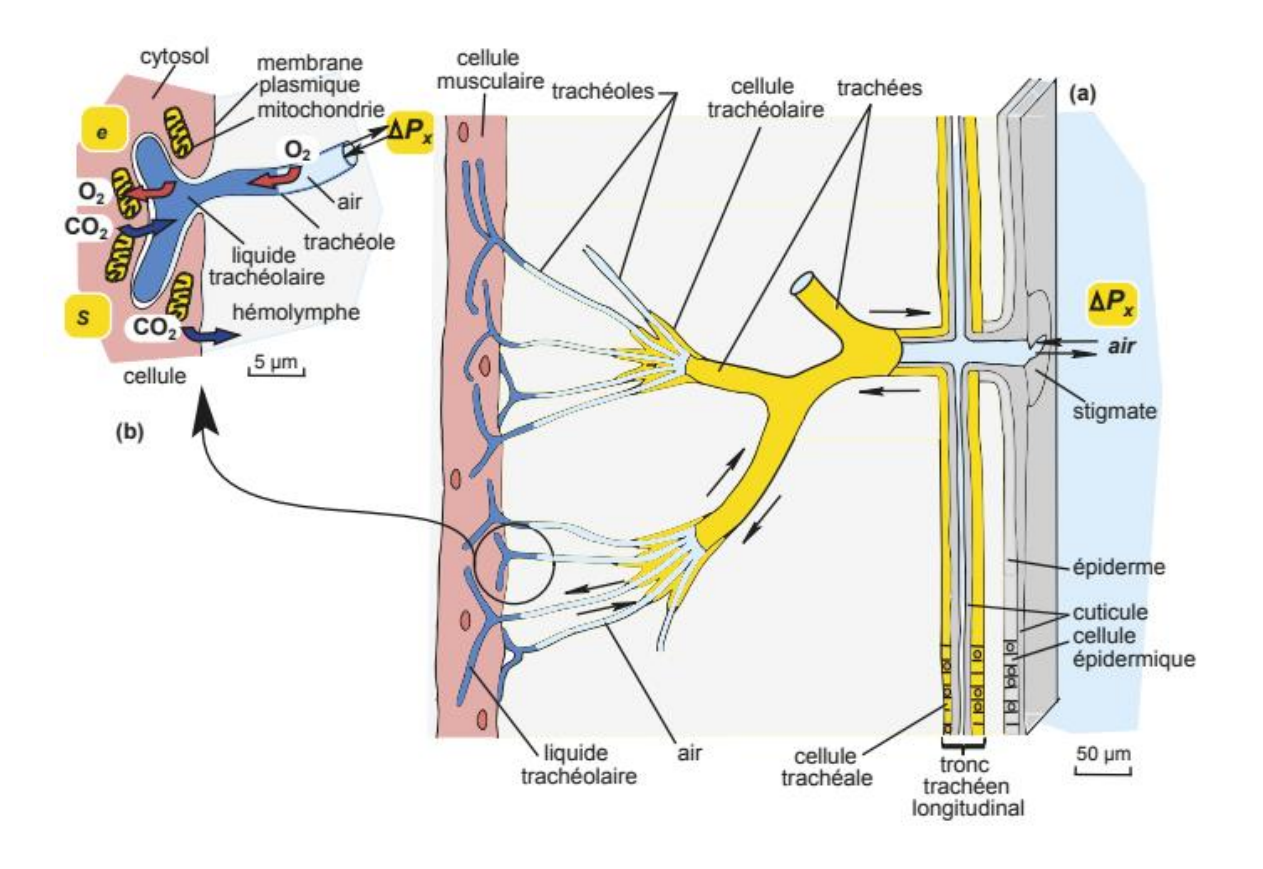


Fig. 16. Trachées des Insectes et échanges gazeux.

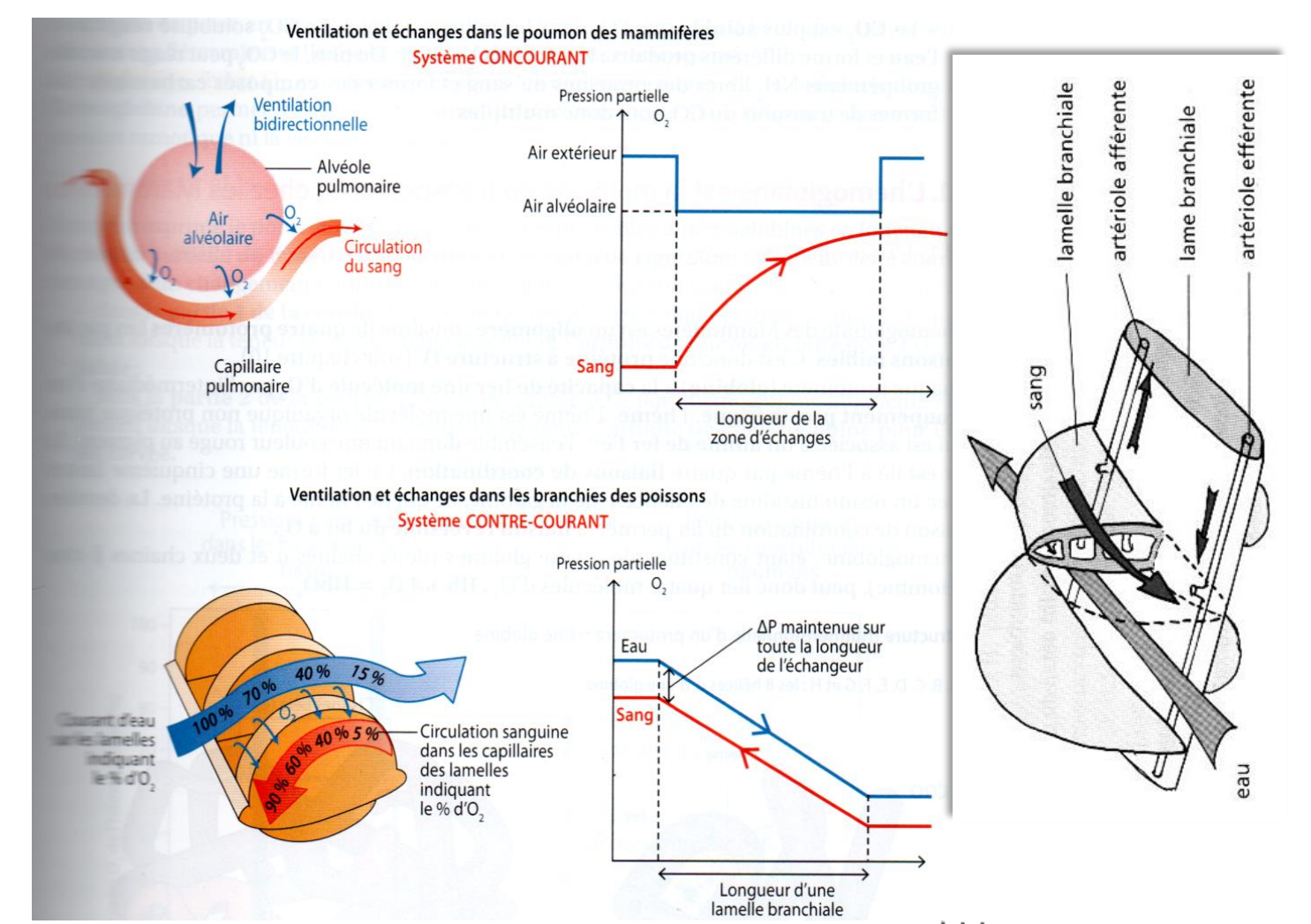
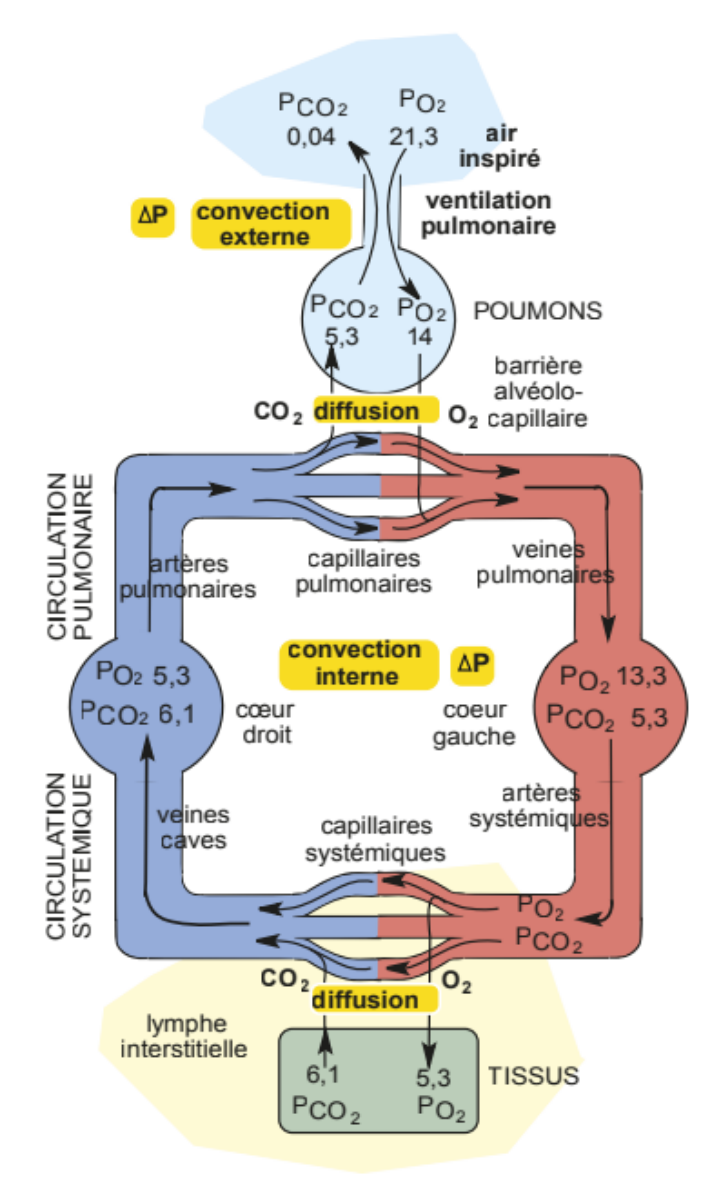


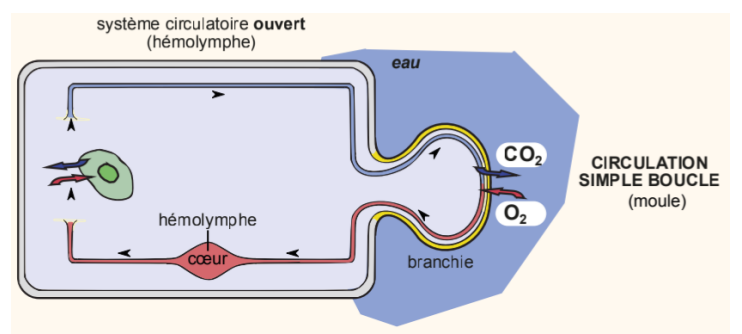
Fig. 17. Systèmes co-courant et contre-courant et échanges gazeux.

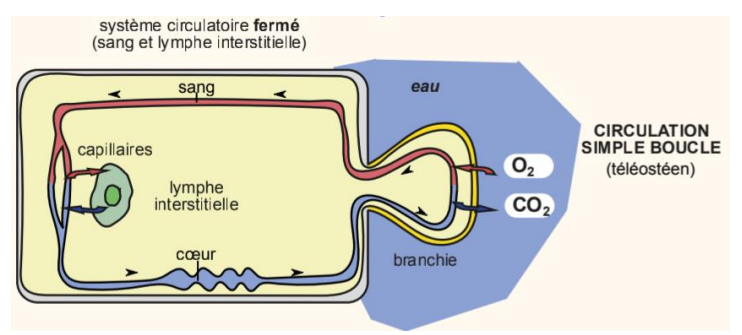
BCPST1 – G. Furelaud 9/11

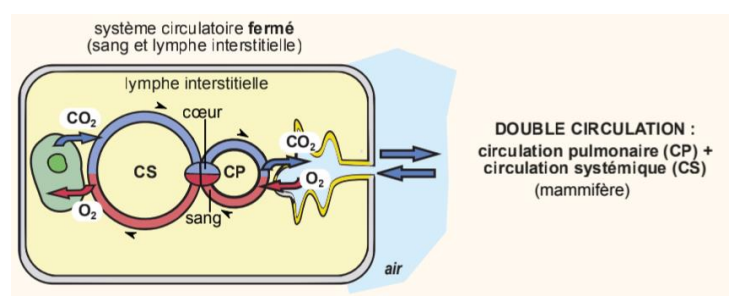


← Fig. 18. Double circulation des Mammifères et échanges gazeux. [2]

↓ Fig. 19. Divers systèmes circulatoires : Moule, Téléostéen,
 Mammifère. ★★ [2]







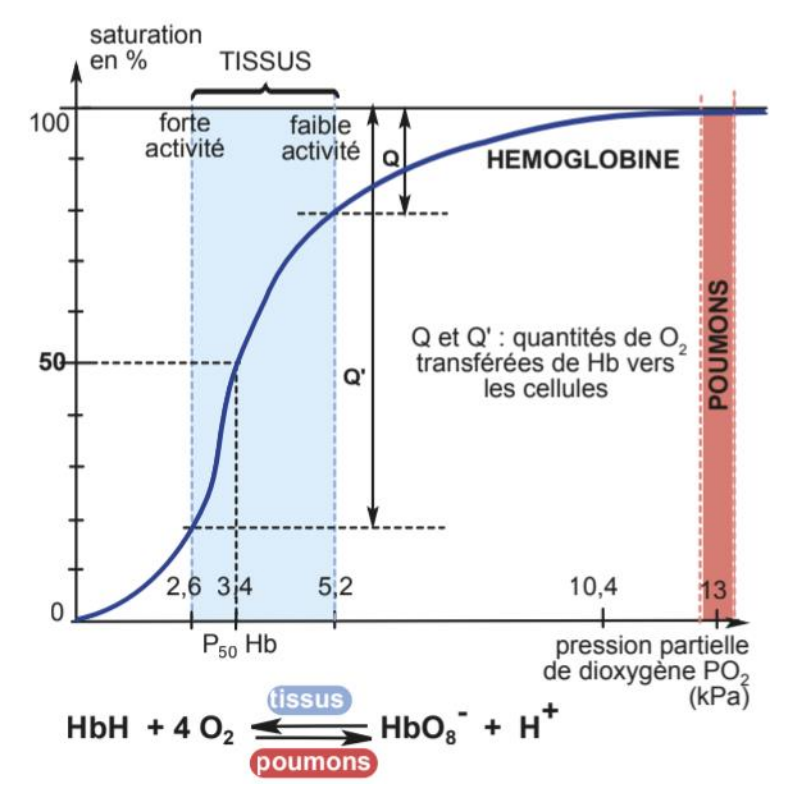
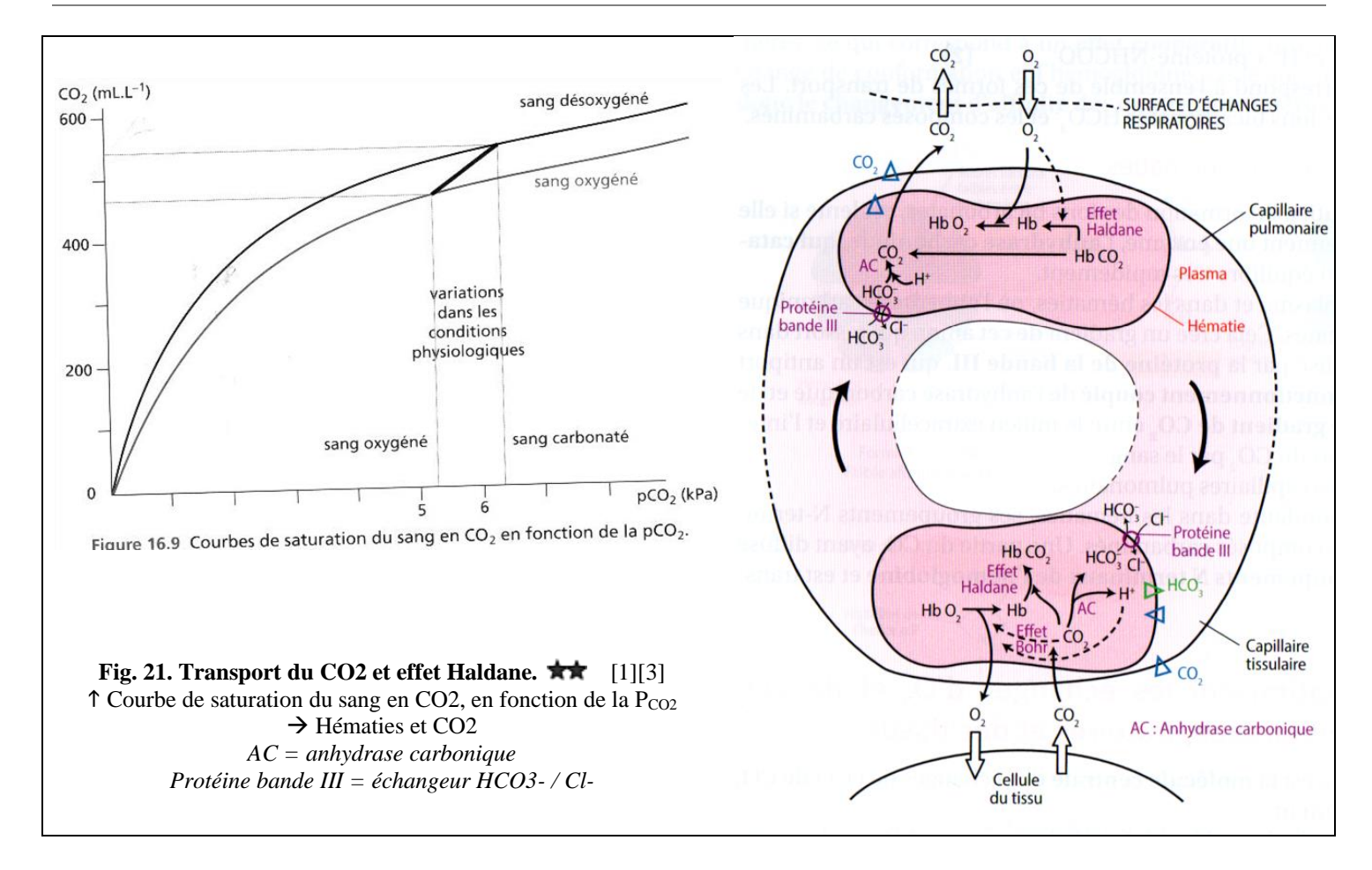


Fig. 20. Courbe de saturation de l'hémoglobine.

BCPST1 – G. Furelaud 10/11



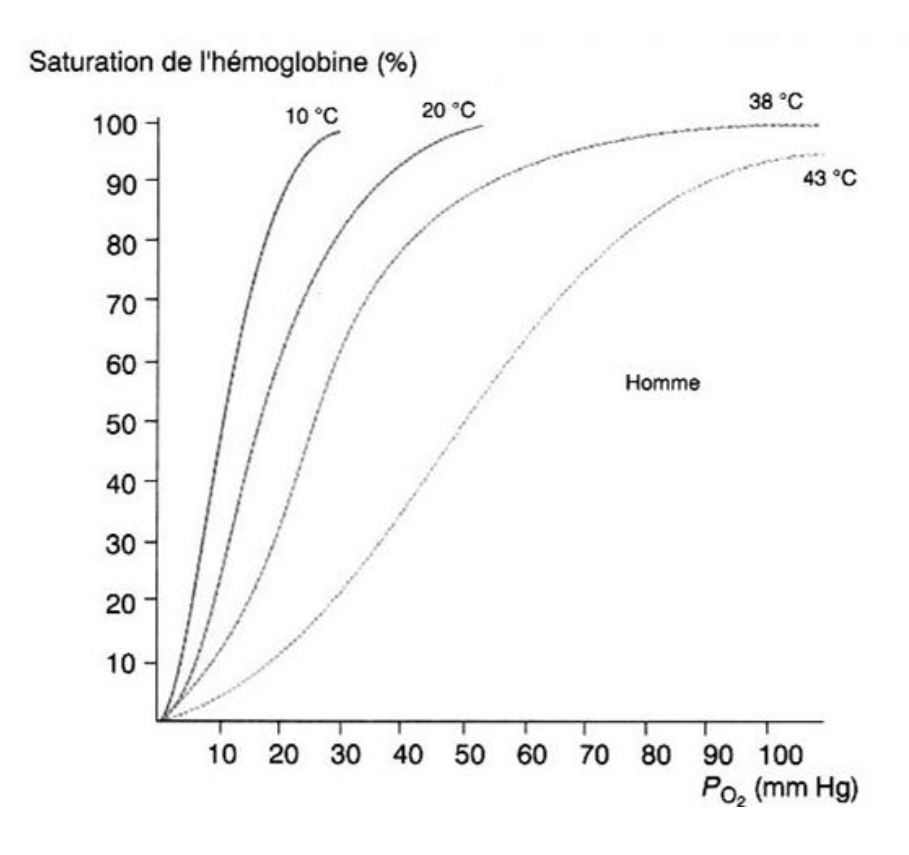


Fig. 22. Effet de la température sur la fixation du O2 par l'hémoglobine.

BCPST1 – G. Furelaud 11/11

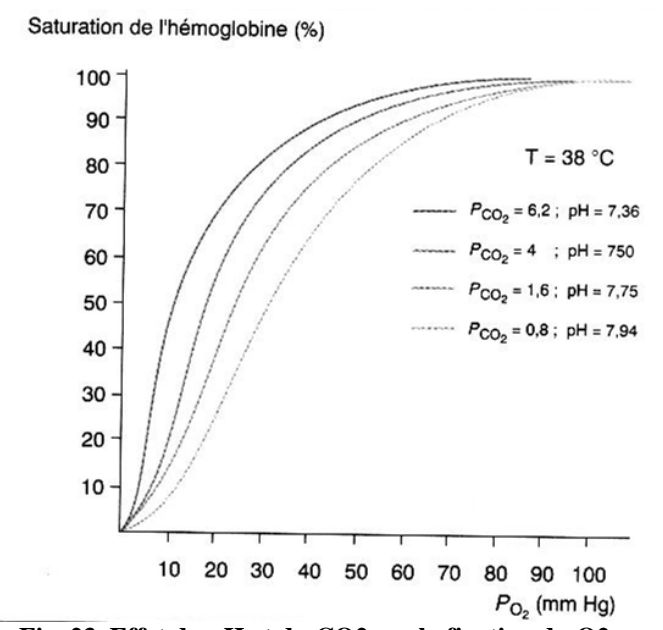


Fig. 23. Effet du pH et du CO2 sur la fixation du O2 par l'hémoglobine. ★★ [4]

Saturation de l'hémoglobine (%) 100 90 pH élevé pH normal (PCO2 basse) 80 (PCO2 normale) 70 60 pH faible 50 (PCO, élevée) 40 30 20 10 Effet Bohr 20 30 40 50 60 70 80 90 100 Po2 (mm Hg)

Fig. 24. Effet du pH sur la fixation du O2 par l'hémoglobine : effet Bohr.

Saturation de l'hémoglobine (%)

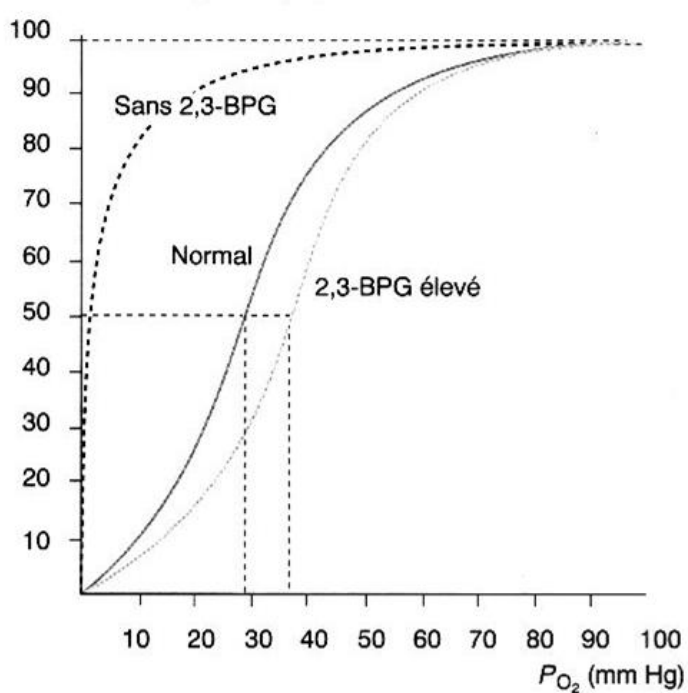


Fig. 25. Effet du 2,3-BPG sur la fixation du O2 par l'hémoglobine [4]

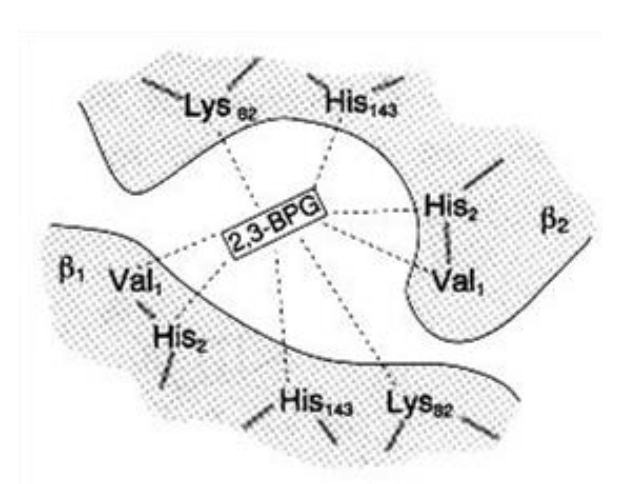


Fig. 26. Fixation du 2,3-BPG sur les chaînes β de l'hémoglobine.

[4]

ſ	Références	[1] ou absence de numéro : Ouvrage ou page Internet non précisé
		[2] O. Dautel et al. Biologie Géologie BCPST1. Vuibert
		[3] C. Perrier et al. Biologie BCPST1 tout-en-un. Dunod
		[4] D. Richard. Physiologie des animaux tome 1. Nathan université (1997)